

II-43 Sand Waves に関する基礎的研究 (3)

京大防災研究所 正員 芦田和男

京大防災研究所 正員 田中祐一朗

K.K. 蘭田組 正員 川上七海兵

1. はじめに。

Sand waves は河床材料が流水によつて移動させられるようになると、ほんと常に河床面上に形成されるもので、その存在は種々な難問を提起する。したがつて、流れ機構および移動床水路での抵抗法則などの実用的な問題を解明するためにも、まずこの *sand waves* の水理学的特性とその機構を明らかにする必要がある。こうした意味から *sand waves* については、従来から多くの研究がなされてきたが、領域区分の定量的な意味での定義さえまだ明確でなく、未解明の問題が非常に多い。

Sand waves は周期性と不規則性といふ二つの顕著な性質を有しているが、従来は計測の困難なこともあり、この不規則性に対する考慮がほとんど払われていない。*Sand waves* の不規則性を論ずるためには、統計的手法を導入する必要がある。最近 *sand waves* のスペクトル解析について、とくに Dune の場合についての研究が C.F. Nordin と J.H. Alger¹⁾ により発表され、著者らも同様の研究を行なつて、その一部を第 11 回水理講演会において発表した。本研究はそれ以後に行なわれた実験および解析により、各種の領域における *sand waves* のスペクトル特性と、この問題に対するスペクトル解析の適用性および今後の研究の方向について若干の検討を加えたので、ここに御報告して大さうの御批判を得たい。

2. 実験およびその方法。

実験に用いた水路は断面 50 cm × 50 cm; 長さ 18 m の両面ガラス張りのものである。実験に用いた砂は上下を 3.2 mm によりカットしたほぼ均一な粒径のもので、その平均粒径は 0.732 mm である。

表-1. 実験条件

	A-1	A-2	A-3	A-4	A-5	B-1	B-2	B-3	B-4	C-1	C-2	C-3	D-1	D-2	D-3	D-4
流量 Q(l/s)	30	15	40	11	50	10	20	30	45	10	20	30	10	12	14	20
水深 h(cm)	11.6	7.3	12.3	5.7	13.7	3.1	4.5	5.7	7.0	3.9	5.4	8.0	4.8	5.5	5.6	7.8
こう配 R ^{1/2} × 10 ³	250	167	250	255	325	100	100	9.35	100	460	450	450	160	160	190	215
フルード数 F	0.59	0.55	0.73	0.57	0.77	1.26	1.44	1.58	1.75	0.89	1.12	0.98	0.66	0.65	0.75	0.67
河床形態	D	R	D	D	T	T	S	F	D	D	D	R	R	R	R	R

行なった実験は表-1 に示すように Ripples から Transition に至る各領域にわたつている。この表で、R は Ripples を D は Dunes を T は Transition を S は Standing waves を F は Flat bed を意味する。測定は超音波式測深器を用いて行はつた。A-1 から D-4 に至る全ての場合、主として実験条件による平衡状態が達成された後、通水を停止して、このときの河床形状を形成された *sand waves* の波長に對し、5 cm 又は 2.5 cm の二種の間隔で水路中心線沿いに測定した。尚上下流の影響域を考慮すると、有効長は 10 m 程度であり、統計的解析を行なうには資料の数が不足である。そこで、以後 2 分の 1 の間隔で通水を断続して測定を繰り返し、これを継ぎ足して資料とした。また A-1 および B-4 の二つの実験では水路中央部の一定長における河床の時間的变化を測定した。A-1 は 6 時間の実験を行はつた、これをアナログ記録として測定したものと 1 分間隔に読み取つたものを資料とした。

L, B-4 はデジタル記録で 5 秒間隔のものを 1 時間にわたって測定した。

3. 実験結果とその考察

(1) 自己相関係数およびスペクトル密度函数の各領域における特長

上記のようにして得られた実験資料から、自己相関係数およびスペクトル密度函数を R.B. Blackman and J.W. Tukey の方法²⁾によって計算した。計算は KDC-II を用いて行ない、その際の windowとしては running を用いた。表-2 にはこれらの資料についての二・三の統計量をまとめ表示す。

表-2. 統計的諸量

	A-1	A-2	A-3	A-4	A-5	B-1	B-3	B-4	C-1	C-2	C-3	D-1	D-2	D-3	D-4
N	907	824	837	698	800	689	600	643	635	738	917	1036	1089	1092	632
K	90	82	83	69	80	68	60	60	60	70	91	100	100	100	60
N'	50	63	38	56	43	-	99	-	122	70	75	113	145	23	21
E (cm)	93	70	107	78	89	-	-	-	25	52	58	22	17	130	162
L (cm)	90	93	120	98	93	20	30	86	19	27	21	-	15	-	-
H (cm)	39	22	57	32	35	-	-	-	29	15	21	06	05	13	22
R (cm)	16	10	21	24	15	04	09	02	05	07	10	03	03	04	07

また先の一例として二・三の場合の自己相関係数を図-1 に、スペクトル密度函数を図-2, 3, 4, 5 に示す。図-2, 3, 4, 5 はそれぞれ Ripples の初期、典型的な Ripples, Dunes, Standing waves の場合のものである。Ripples の初期では波高キラウ、したがってそのパワーも小さく、この場合には種々の波長の波がほぼ等しい密度で表われている。これが Ripples にはほど多く多くの波の中の一つが卓越したものになる。しかし、伝播波側に顕著なピークが存在するため、ピークが二つになる。この伝播波側のピークは各領域のスペクトル密度函数に共通して現われおり、これが各スペクトルの基本的なパターンを成し、その背面に各領域の特性が表われている。典型的な Ripples から更に H を増大させて行くと、背面での卓越したピークは次第に減衰して、再び多くの波がほぼ等しい密度で現われるようになり、Dunes では図-4 に見られるように、基本パターンの一つのピークが卓越し、その上に多くの波が乗るもののとなる。

図-1. 自己相関係数 (B-3, D-1, C-1, A-1)

更に H を増大させて行くと、スペクトルの頂上ではこれまでの逆をたどり、やがて flat bed では先の図-2 に示した Ripples の初期のものとはほとんど同じものになる。その中に現われる Standing waves では図-5 に示すように顕著なピークが現れる。以上のように入力スペクトル密度函数は各領域の特性を非常によく表現しているが、Plane bed から flat bed への各領域の移行がスペクトルの頂上で上述のような過程をたどるものとすると、従来の定性的な各領域に対する定義では十分ではないと思われる。

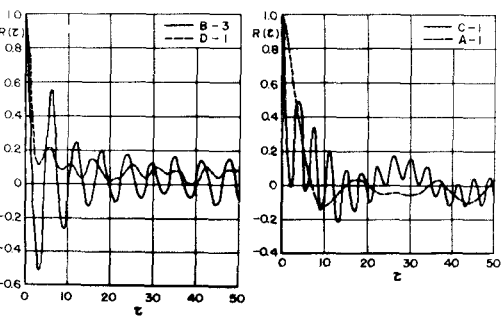


図-1. 自己相関係数 (B-3, D-1, C-1, A-1)

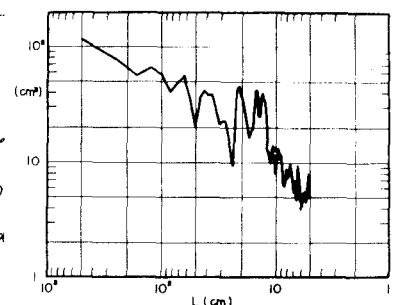


図-2 D-1 の距離スペクトル

前述のように、低周波側に見られる flat なピークはほとんどの全7の実験を通じて見られる顕著な特長である。これは先に述べたように資料を統合したことによって現われたものではないかとも考えられる。しかし統合した長さは $7 \sim 10 \text{ m}$ であるのにピークの現われる位置は $1 \sim 3 \text{ m}$ である。

また図-6には A-1 の時間スペクトルを示してあるが、これは統合とは行なっていなければもしかわらずこれにも同様の低周波側のピークが認められる。したがってこれはやはり現象自体の中に存在するものと考えざるを得ない。表-3にはこのピークの現われる長さと他の水理量

を比較して示す。著者らの実験では水理条件がかなり変化していくにもかからず、この成長の大きさは比較的一様である。この表には Nordin らの資料も掲げてあるが、水路中で単位中流量が大きくなると、この波長も大きくなるようである。この点は更に中の変化した場合の実験資料を集積してみなければ明らかでないが、何か

表-3. 低周波側の卓越波長と水理諸量

	A-1	A-2	A-3	A-4	A-5	B-1	B-4	C-2	C-3	By Nordin and Algert						
										1	2	3	4	5		
L' (cm)	90	90	120	98	93	85	86	100	60	775	82	101	254	406	1515	1213
水路巾 B (cm)	50	50	50	50	50	50	50	50	50	122	122	122	244	244	2743	2743
単位巾流量 q (l/m.s)	60	30	80	22	100	20	90	40	60	648	802	975	1188	2061	8730	9564
平均流速 U_m (cm/s)	51.7	41.0	65.3	38.5	71.9	65.3	128.5	73.8	75.1	531	541	550	582	644	111	75.6
摩擦速度 U_f (cm/s)	4.41	3.04	4.49	3.41	5.23	5.17	7.32	4.32	5.17	3.84	4.00	4.41	4.82	5.76	6.53	8.11

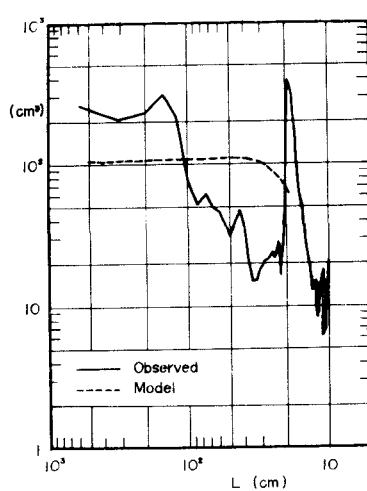


図-3. C-1 の距離スペクトル

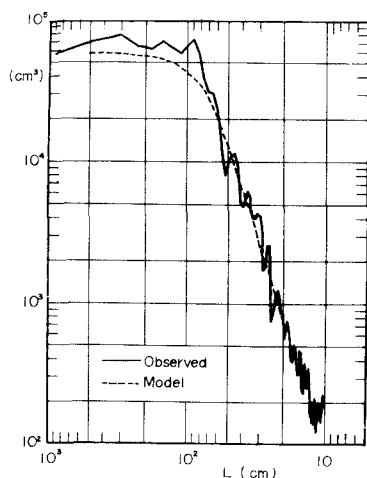


図-4 A-1 の距離スペクトル

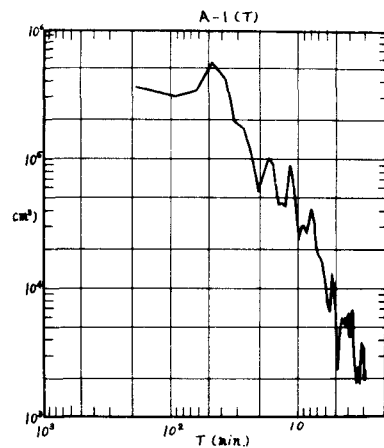


図-6 A-1 の時間スペクトル

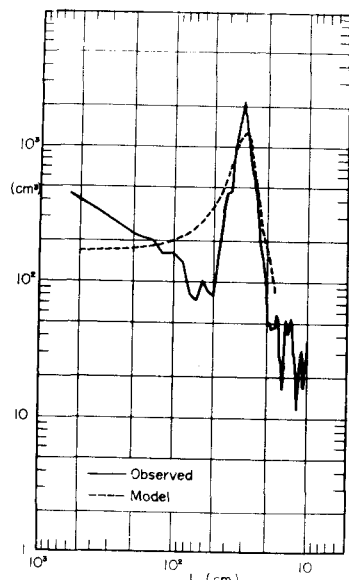


図-5 B-3 の距離スペクトル

流れの規模により、て規定されたものではないかと思われる。

(2) マルコフ過程によるモデル

以上のようにスペクトル密度関数は現象の性質を極めてよく表現することができるが、だが、これを更に定量的に論議するためにこれを一般に長次のマルコフ過程で表示せよると仮定する。すなわち、 $X(l)$ を原系列とするとき、

$$X(l) = a_1 X(l-1) + a_2 X(l-2) + \dots + a_k X(l-k) + \epsilon_l \quad (1)$$

ここで a_1, a_2, \dots, a_k は常数で、 ϵ_l は $X(l)$ の random 成分である。

(1) 式はまだ相関係数 $R(l)$ によつて次のようにも表現できる。

$$R(l) = a_1 R(l-1) + a_2 R(l-2) + \dots + a_k R(l-k) \quad (2)$$

この場合のスペクトル密度関数は次式で与えられる。³⁾

$$f(f) = \frac{\sigma_e^2}{|1 + a_1 e^{-2\pi f} + a_2 e^{-4\pi f} + \dots + a_k e^{-2k\pi f}|^2} \quad (3)$$

ここで σ_e^2 は ϵ_l の Variance であり、(1) 式の期待値を取ることによって、次式から計算される。

$$\sigma_e^2 / \sigma_o^2 = (1 - a_1^2 - a_2^2 - \dots - a_k^2) - 2(a_1 a_2 + a_2 a_3 + \dots + a_{k-1} a_k) R_1 - 2(a_1 a_3 + \dots + a_{k-2} a_k) R_2 - \dots - 2a_1 a_{k-1} R_{k-1} \quad (4)$$

ここで σ_o^2 は $X(l)$ の Variance であり、 R_1, \dots, R_{k-1} は相関係数の最初から $k-1$ 番目の値である。(3) 式の分母は次のように簡単になる。

$$|1|^2 = (1 + a_1^2 + \dots + a_k^2) + 2(a_1 a_2 + \dots + a_{k-1} a_k - a_1) \cos 2\pi f + 2(a_1 a_3 + \dots + a_{k-2} a_k - a_2) \cos 4\pi f + \dots + 2(a_1 a_k - a_{k-1}) \cos 2(k-1)\pi f - 2a_1 \cos 2k\pi f \quad (5)$$

以上において常数 a_1, a_2, \dots, a_k は (2) 式で例えれば $l=0, 1, \dots, k-1$ における得られた k 個の連立方程式を解くことによって決定される。ここで a は機器原系列に九個の周期が存在する場合は $k=2n$ とすれば良いとされていい。今最も簡単な場合として $k=2$ の場合の計算値を図-3, 4, 5 にモデルとして記入してある。卓越したピークが一つの場合にはモデルはかなりよく適合度を示すが、ピークが二つになるとになると適合しない。図-6 に $k=4$ とした場合も含めて示す。この場合 4 次のモデルの方が実験に似た形となるがピークの位置がずれていく。これは尺の縦として最初から 4 ケを用いたためで、二つの周期成分を十分に表わすためには尺の角度を大きくとり、これをもとの 4 T に変換して用いる必要があると思われる。以上のようにマルコフモデルで現象をかなり近似できるものと思われ、この場合現象の性質を示すパラメーターとして、 $\sigma_o, a_1, a_2, \dots, a_k$ ばかり意味を持つものと思われる。今後はこれらの値と水理量との間の関係について更に検討を加える必要があろうと思われる。

本研究を行なうに際し、その一部に昭和 41 年度文部省科学研究所費（各個研究）の補助を受けた。ここに厚くして関係各位に謝意を表する。

- 1) C. F. Nordin and J. H. Algert; Spectral Analysis of Sand Waves, Proc. of A.S.C.E. HY.T., 1966
- 2) R. B. Blackman and J. W. Tukey; The Measurement of Power Spectra, Dover Publication Inc. New York
- 3) 小河原正己, 時系列に関する推測論について, 確率論および推計学の進歩, 岩波書店, 1953,

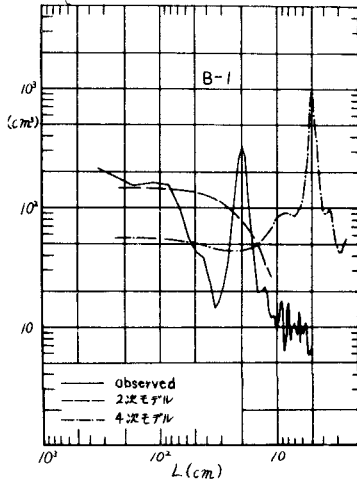


図-7. 実測スペクトルとマルコフモデル